

Проблемы солнечных нейтрино

66

ν_e от \odot - проявление слабых взаимодействий.

β -распад: $n \rightarrow p + e^- + \bar{\nu}_e$

Обратный β -распад: $n + \nu_e \rightarrow p + e^-$

- протон-протонный цикл: $p + p \rightarrow D + e^+ + \nu_e$

$$E_{\text{пор}}^{\nu} < 0.4 \text{ МэВ} ; \quad \text{SSM} : \quad \underline{f = 1.68 \cdot 10^{38} \left(\frac{\nu}{c} \right)}$$

- Дорный цикл: ${}^8\text{B}^* \rightarrow 2 \times {}^4\text{He}$

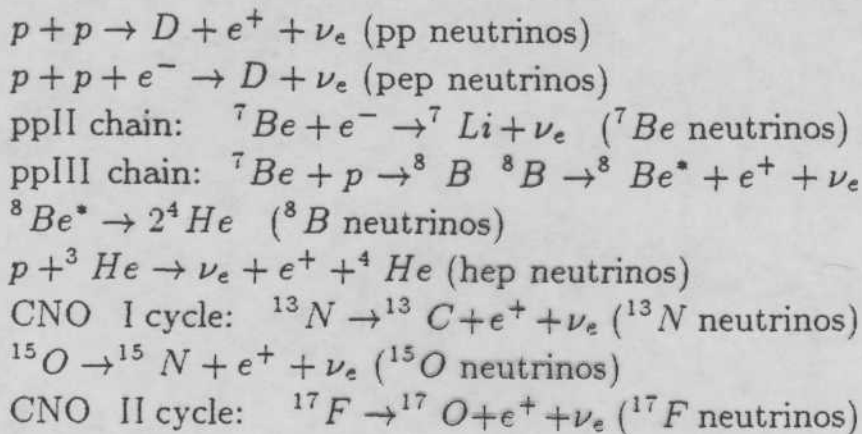
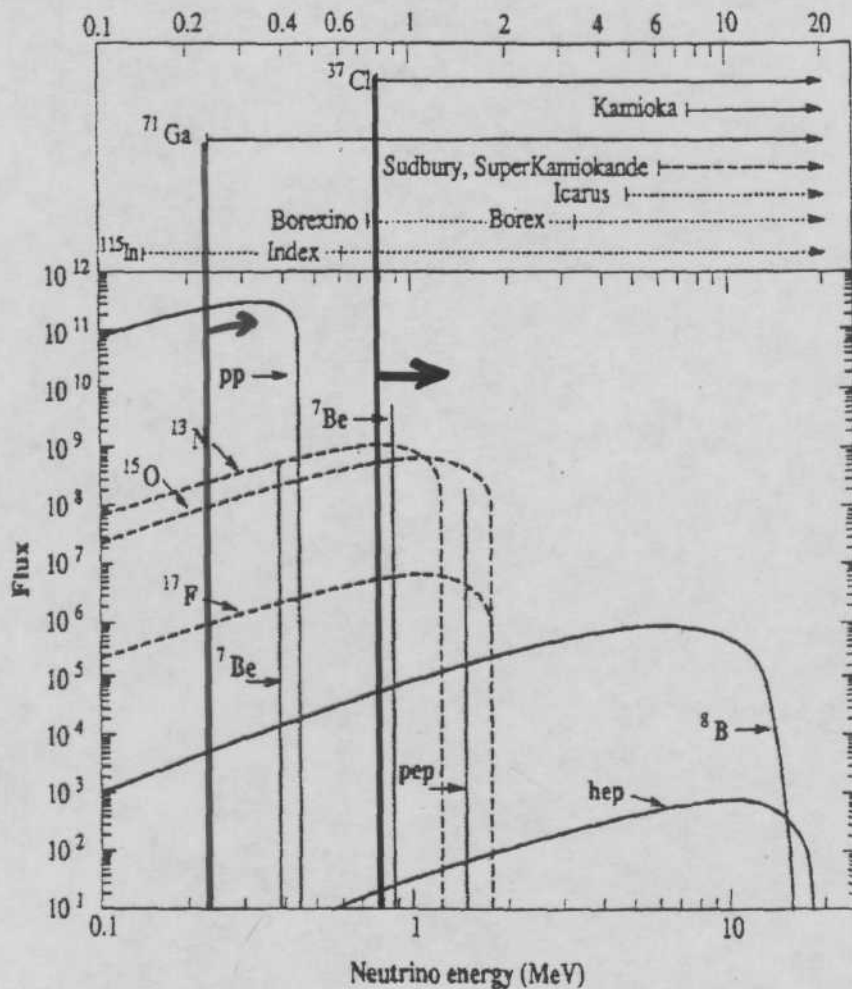
$$E_{\text{пор}}^{\nu} < 20 \text{ МэВ} ; \quad \text{SSM} : \quad \underline{f = 1.35 \cdot 10^{34} \left(\frac{\nu}{c} \right)}$$

Сложность в определении потока нейтрино - плохое знание сечения взаимодействия при малых энергиях.

$$\sigma_{\nu} \approx 11.4 \cdot 10^{-43}, \text{ см}^2$$

$$\odot : N_{\nu}^{\odot} = 2 \times \frac{L_{\odot}}{25 \text{ МэВ}} = 10^{39} \frac{1}{c}$$

$$f_{\nu} = N_{\nu}^{\odot} / 2\pi R = 10^{11} \frac{1}{\text{см}^2 \cdot \text{сек}} \quad !!!$$



Эксперимент Дэвиса. (1968 ÷ 1990) и т.д. (68)

$M = 610$ тонн C_2Cl_4 , $h = 4900$ м в э (Южная Дакота)
($n + \nu_e \rightarrow p + e^-$)

обратный β -распад: $\nu_e + {}^{37}_{17}Cl \rightarrow {}^{37}_{18}Ar + e^-$, $E_{\text{пор}} = 0.814$ МэВ
 $\hookrightarrow T_{1/2} = 35$ дней

чувствителен к 8B , 7Be , пер, CNO - циклам

Набор статистики 1 ÷ 2 месяца, (накопление ${}^{37}Ar$)
периодически добавляли по $\sim 1/10$ см³ протонов ${}^{36}Ar$ и ${}^{38}Ar$
для определения эффективности извлечения Ar из жид-
кого: $[{}^{37}Ar + {}^{40}Ar + {}^{36}_{38}Ar] + 10\% CH_4 \rightarrow$ в пропор-ый счётчик.

${}^{37}Ar \rightarrow {}^{37}Cl + e^-$ (ϵ -захват) релакс-ия Оже элек-н

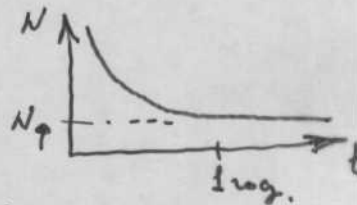
$T_{1/2} = 35$ дней.

$E_e = 2.82$ кэВ

$p + e^- \rightarrow n + \nu_e$

Для опре-ия фона подсчит числа распадов $t \sim 1$ год

$$N = 0.49 \pm 0.03 \left(\frac{\text{захвата}}{\text{день}} \right)$$



60 дней $\rightarrow 20 \div 30$ в взаимодействии.

$F = 2.55 \pm 0.25$, SSV (экен)

$F = (7.0 \pm (1.7 \div 3.9))$, SSV (модем)

$$SSV = 10^{-36} \frac{\text{захвата}}{\text{атом} \cdot \text{сек}}$$

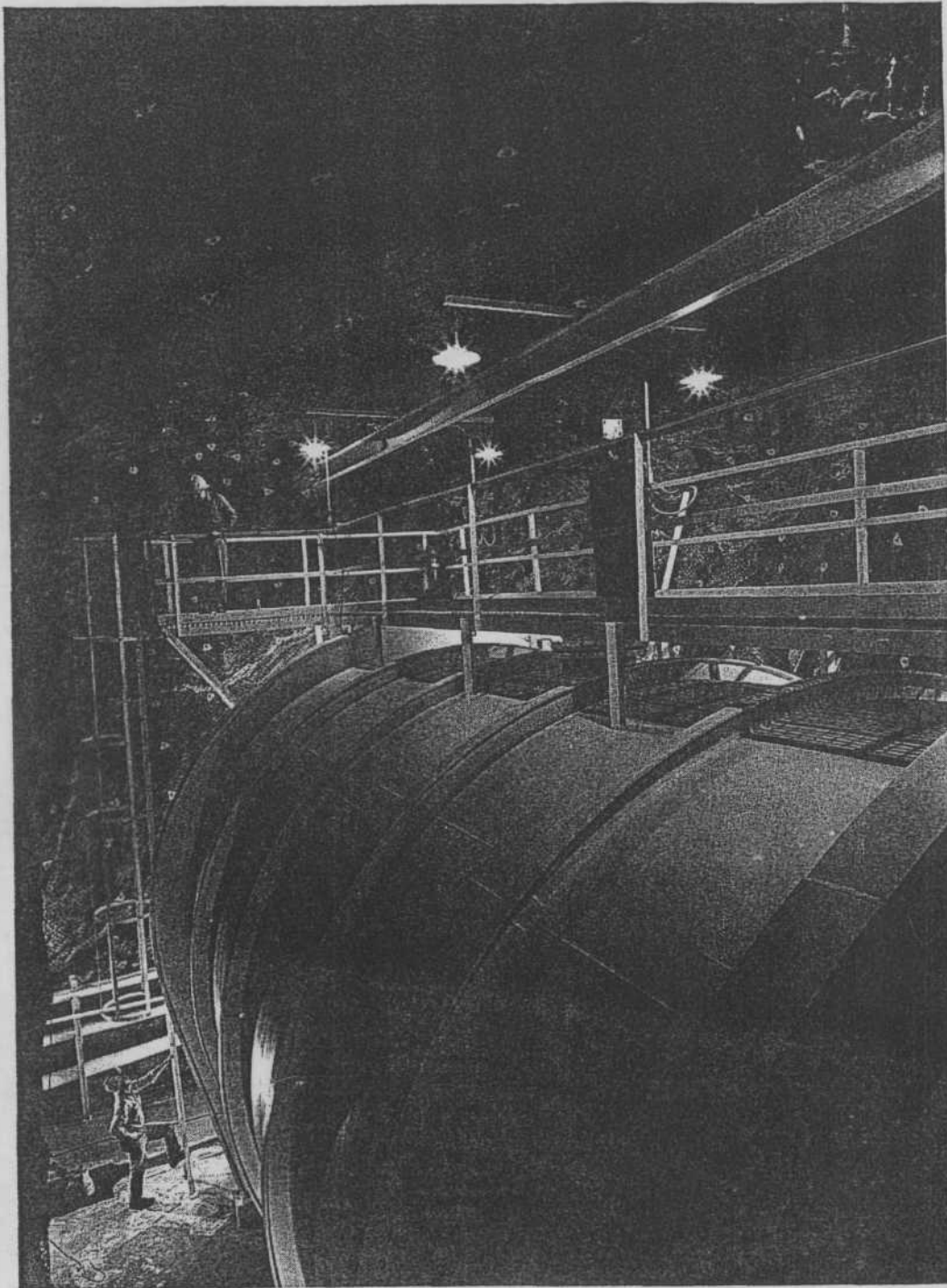


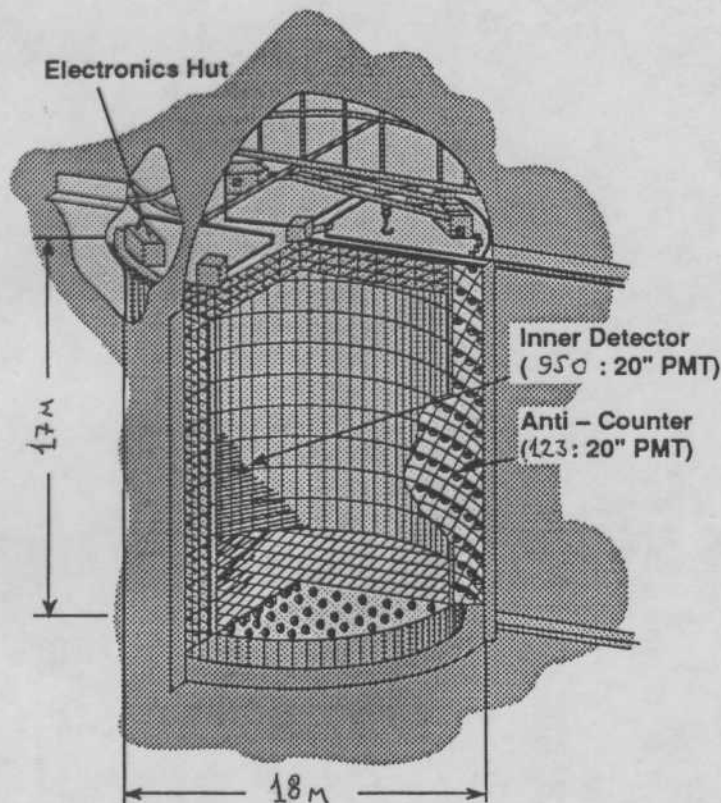
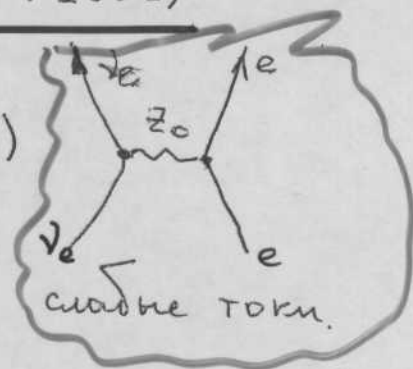
FIGURE 3.6

The large underground tank holding 615 tons (100,000 gallons) of liquid containing chlorine, located in the Homestake gold mine in Lead, South Dakota. The tank was built by a Brookhaven team, under the direction of Ray Davis, Jr., to search for the signal from neutrinos emitted by the sun. The photo shows the tank before the experiment was begun in 1967. This detector, now operated by the University of Pennsylvania, has operated for more than twenty years. (Photo provided by R. Davis, courtesy of Brookhaven National Laboratory.)

реакция: $\nu_x + e^- \rightarrow \nu_x + e^- (+\Delta E)$

рентгеновский свет от e^- .

$E_{\text{пор}} > 7.5 \text{ МэВ}$ (β -цикл)



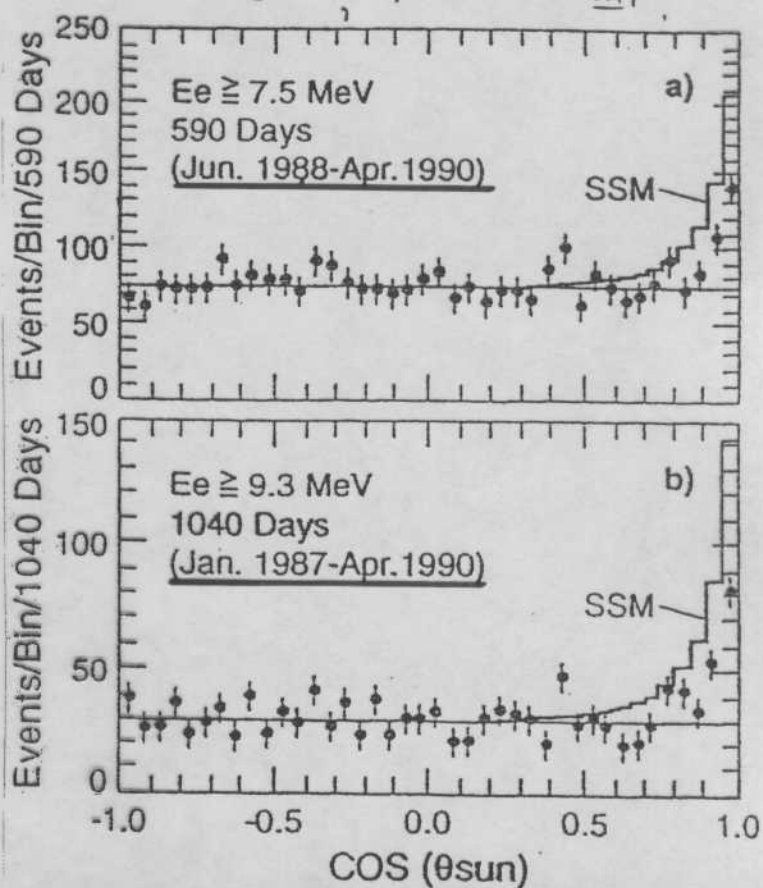
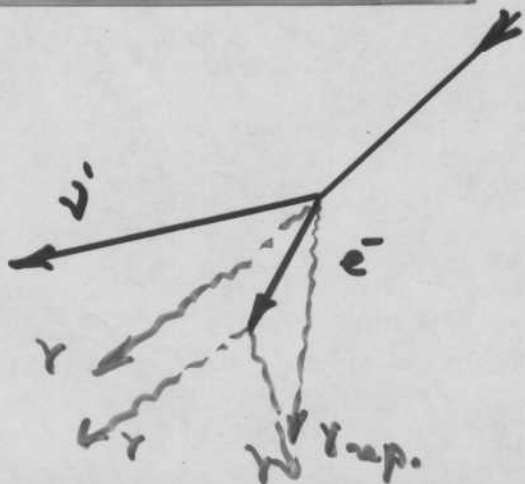
В шахте на $h = 2700 \text{ мвэ}$.

Масса воды 4500 т.

$N_{\text{ФЭУ}} = 950 \text{ шт}$, $\Phi_{\text{ФК}} = 50 \text{ см}$

Сканирует 2 метра воды
с антисовпадательным
ФЭУ, $N = 123 \text{ шт}$.

$$F = 2.44 \pm 0.26 \text{ SSU}$$



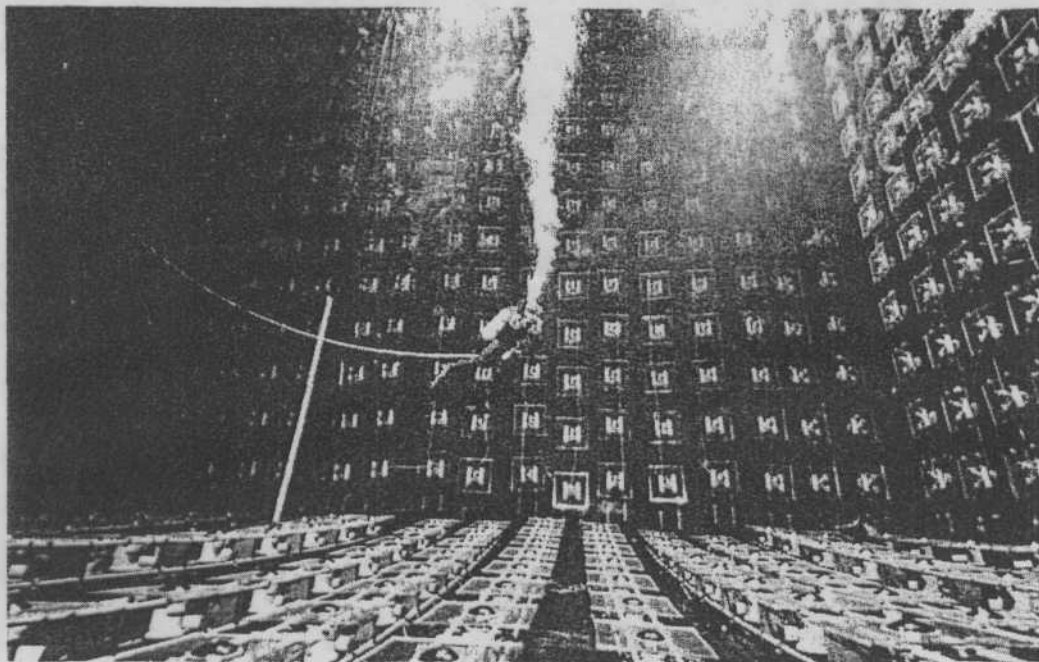


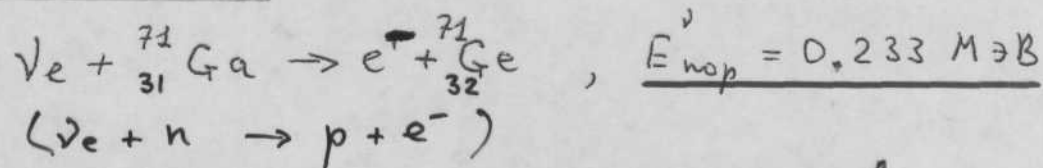
FIGURE 12.3

A photograph taken inside the Irvine-Michigan-Brookhaven proton decay detector (also displayed in figure 6.5 before being filled with water). Clearly seen around the periphery are some of the thousands of huge photosensitive tubes that detect the light produced by charged particles traveling in the water. (Photo by Joe

Галлиевый эксперимент (GALLEX, SAGE)

72

SAGE: (1988 - 1993)22.



→ чувствителен ко всем солнечным циклом!

p-p цикл даёт 54% ν_e при этом пороге.

Эксперимент: 57 т Ga в соединении GaCl₃ (200 т)

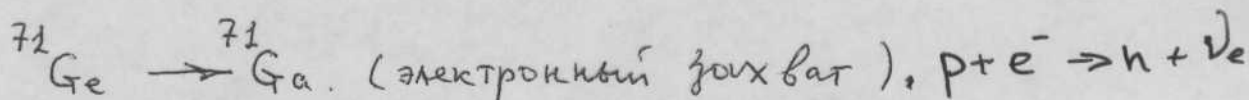
глубина $h = 4700$ мвэ

добавка ~ 1 м Ge для определения эр-и извлечения.

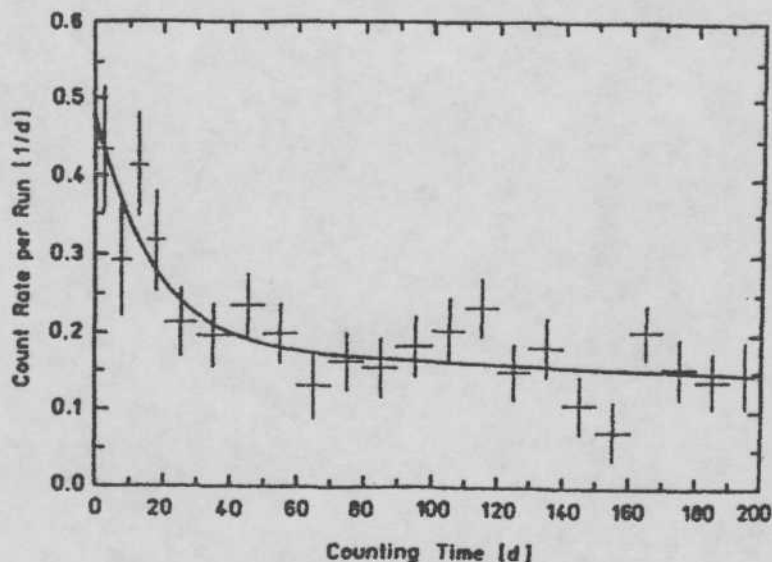
$\left. \begin{array}{l} \text{GaCl}_3 - \text{нелетучий} \\ \text{GeCl}_4 - \text{летучий} \end{array} \right\} \text{пробуживали Xe}$

далее: $\text{GeCl}_4 \xrightarrow{\text{химия}} \text{GeH}_4 \rightarrow \text{смесь (30\% GeH}_4 + 70\% \text{Xe)}$

→ пропорциональный счётчик.



$T_{1/2} = 11.4$ дня.
решетрируется Оже электрон $\begin{cases} E_e^L = 1.17 \text{ кэВ} \\ E_e^K = 10.37 \text{ кэВ} \end{cases}$



Average count rate per run in GALLEX I plotted as a function of time after the start of counting. The solid line represents the best fit to the data obtained with the maximum likelihood method.

Суммарная таблица.

Neutrino Observations				
Experiments	Chlorine exp.	SuperK exp. ($10^6/\text{cm}^2/\text{s}$)	Gallium GALLEX	experiments SAGE
	2.55 ± 0.25 SNU	2.44 ± 0.26	76 ± 8 SNU (cal= 0.91 ± 0.08)	70 ± 8 SNU (cal= 0.95 ± 0.12)
Neutrino predictions				
Reference model	7 ± 1.7 SNU	5 ± 1.25	127 ± 8 SNU	127 ± 8 SNU
Nuclear model	5.2 SNU	3.21	119 SNU	119 SNU
^7Be model	3.87 SNU	2.4	105 SNU	105 SNU

1 SNU is the solar neutrino unit which is equal to 10^{-36} capture/atom s.

Попытки решения проблемы Солнечных ν .

(74)

• 1. Изменение модели Солнца.

— гидродинамика

— $T(z)$

• 2. ν -осцилляции.

Осцилляции.

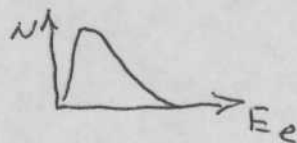
\exists^T 3 типа ν : $Z_0 \rightarrow \nu \bar{\nu}$ (LEP) $\rightarrow \underline{N_\nu = 3}$

$$\begin{pmatrix} \nu_e \\ \nu_\mu \\ \nu_\tau \end{pmatrix} \sim \begin{pmatrix} e \\ \mu \\ \tau \end{pmatrix} \quad \begin{aligned} m_e &= 0.511 \text{ МэВ} \\ m_\mu &= 105 \text{ МэВ} \\ m_\tau &= 1777 \text{ МэВ} \end{aligned}$$

ν введено для выполнения ЗСЭ в β -распаде (Паули, Майорана)

$$A^1 \rightarrow A^2 + e^-$$

$$n \rightarrow p + e^- + ? (\nu)$$

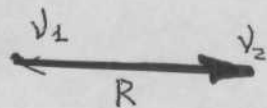


$$(CB) \quad \begin{pmatrix} \nu_1 \\ \nu_2 \end{pmatrix} = \begin{pmatrix} \cos \theta & \sin \theta \\ -\sin \theta & \cos \theta \end{pmatrix} \begin{pmatrix} N_1 \\ N_2 \end{pmatrix} \quad (\text{Масса}) \Rightarrow$$

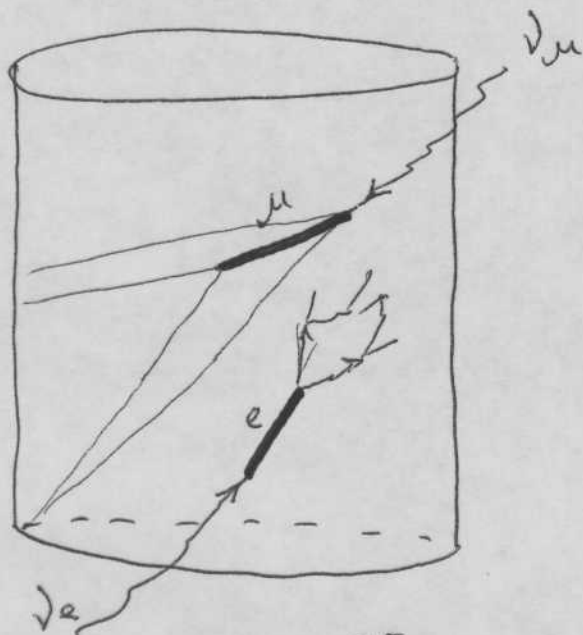
θ — угол смешивания

$$W_{12} = \sin^2 2\theta \cdot \sin^2 \left(\pi \frac{R}{L} \right)$$

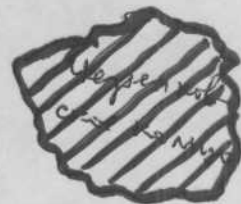
L — длина осцилляций



$$\underline{L [\text{км}] = 2.5 \cdot E [\text{РэВ}] / \delta m^2 [\text{эВ}^2]}$$



e - даёт мбень



μ - не даёт мбень



за 2.5 года: $N_e = 2270$ мт

$N_\mu = 2200$ мт.

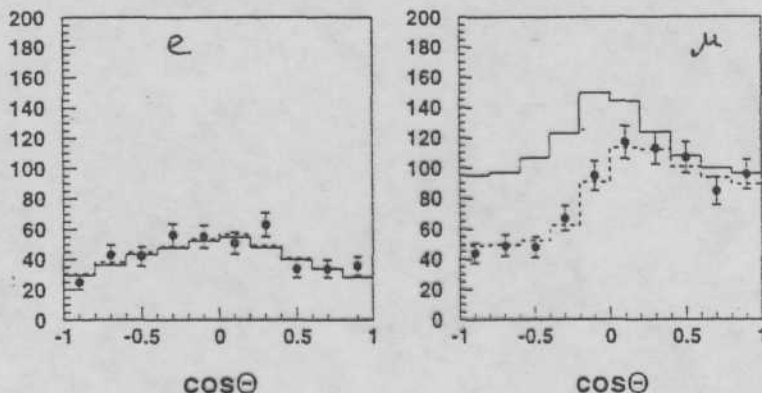
$$R = \frac{(N_\mu/N_e)_{\text{изм}}}{(N_\mu/N_e)_{\text{мс}}} = 0.68 \pm 0.02 \pm 0.06$$

обнаружен недостаток ν_μ , прошедших Землю,
обнаружен переход $\nu_\mu \rightarrow \nu_\tau$!

$$\sin^2 2\theta = 1.0$$

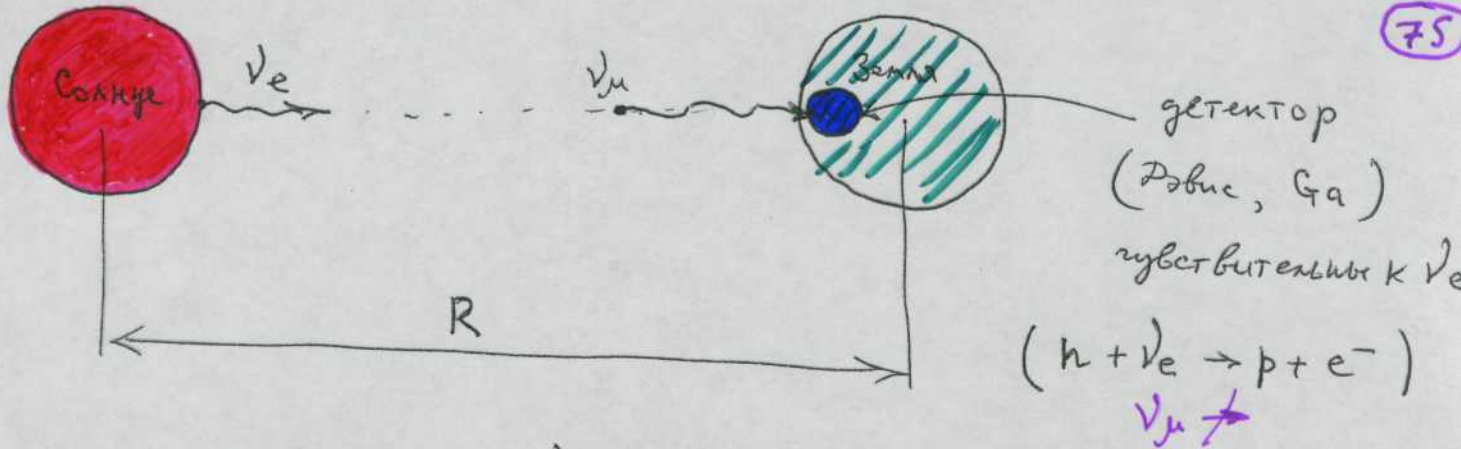
$$\delta m^2 = 4.5 \cdot 10^{-3} \text{ эВ}^2$$

$$\delta m = 0.05 \pm 0.07 \text{ эВ}$$



Preliminary angular distributions for sub-GeV (top) and multi-GeV (bottom) 848 day samples; left figures are for e-like and right for μ -like events. Solid lines show the MC no-oscillation prediction, and broken lines show the $\nu_\mu \leftrightarrow \nu_\tau$ oscillation prediction for the best-fit parameters.





потеря части ν_e из-за осцилляций.

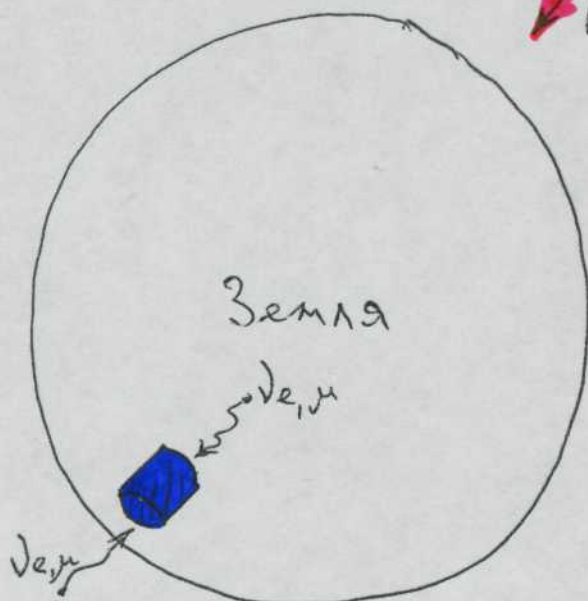
Поиск осцилляций при малых $L \sim 10 \text{ м} \div 1000 \text{ м}$
никого не дал ($\Delta m^2 < \dots$) $\Rightarrow L > 1 \div 10 \text{ км}$

использование детектора Super Kamiokanда

(распад протона) для поиска осцилляций.

(космич.) $p + \text{ядро} \rightarrow \pi^- \rightarrow \mu^- \rightarrow \underline{\nu_\mu} e^- \bar{\nu}_e$
 $\pi^+ \rightarrow \mu^+ \rightarrow \bar{\nu}_\mu e^+ \underline{\nu_e}$ } e и μ - события в детекторе.

($\cos \theta = -1$)



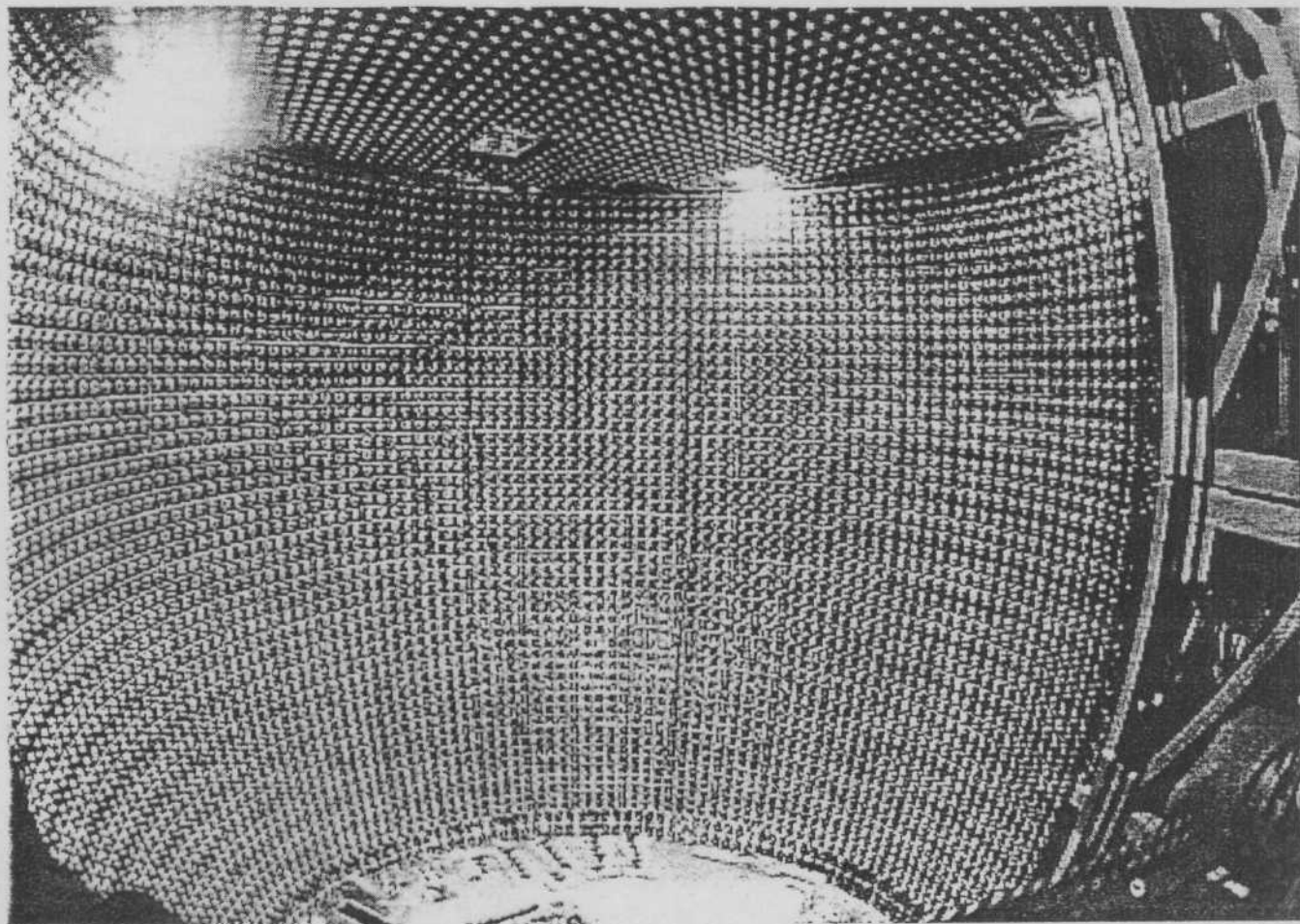
($\cos \theta = 1$)

Резонансная ν по:

$$\nu_e + N \rightarrow e + N'$$

$$\nu_\mu + N \rightarrow \mu + N'$$

$$E_\mu = 0.2 \div 10, \text{ ГэВ.}$$



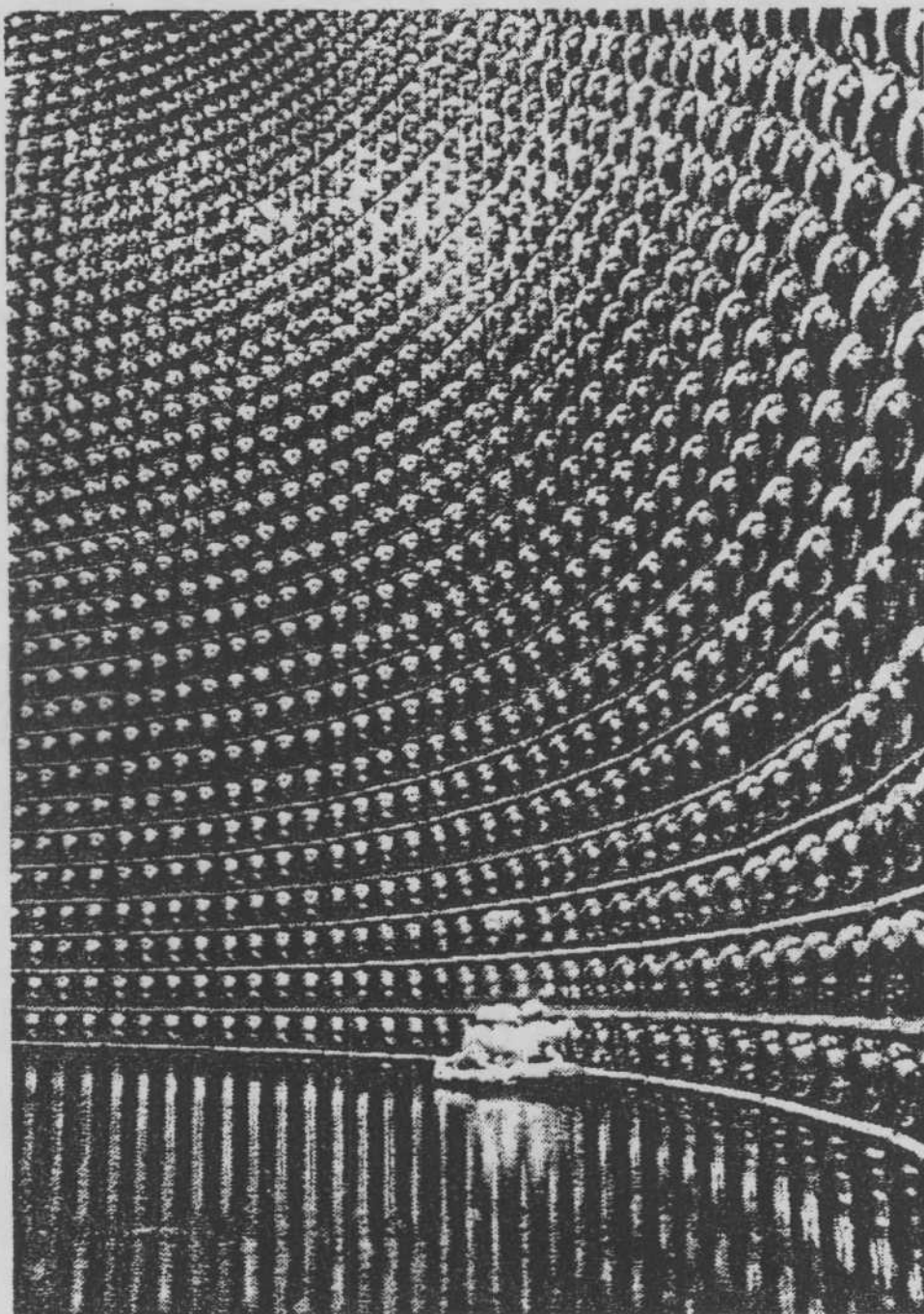
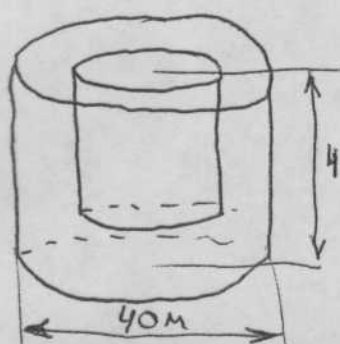


Figure 1. Photograph of the Super-Kamiokande detector during fill-up



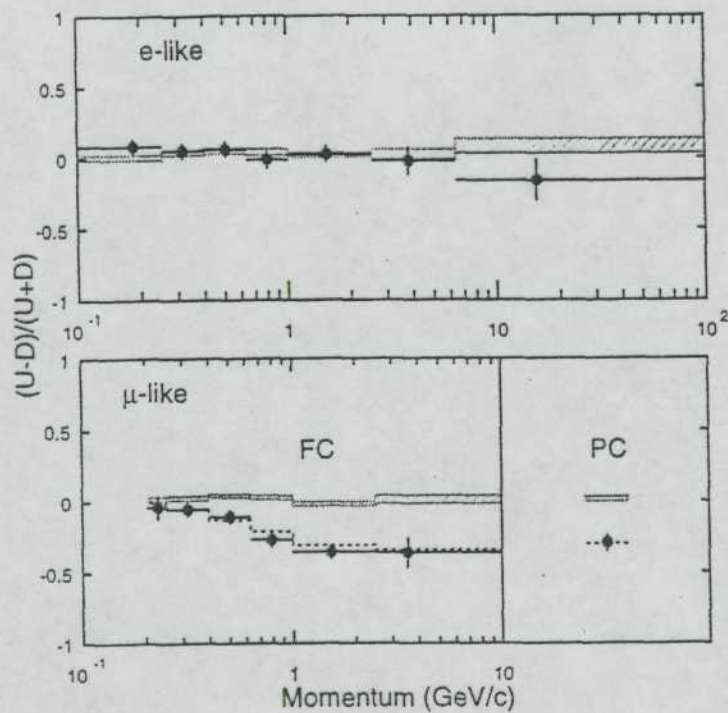
$$V_{\text{обш}} = 50 \text{ кТ} , \quad V_{\text{акт}} = 22.5 \text{ кТ}$$

$$N_{\text{фот}}^{\text{внут}} = 11150 \text{ шт} , \quad \varnothing \text{ ПК} = 50 \text{ см}.$$

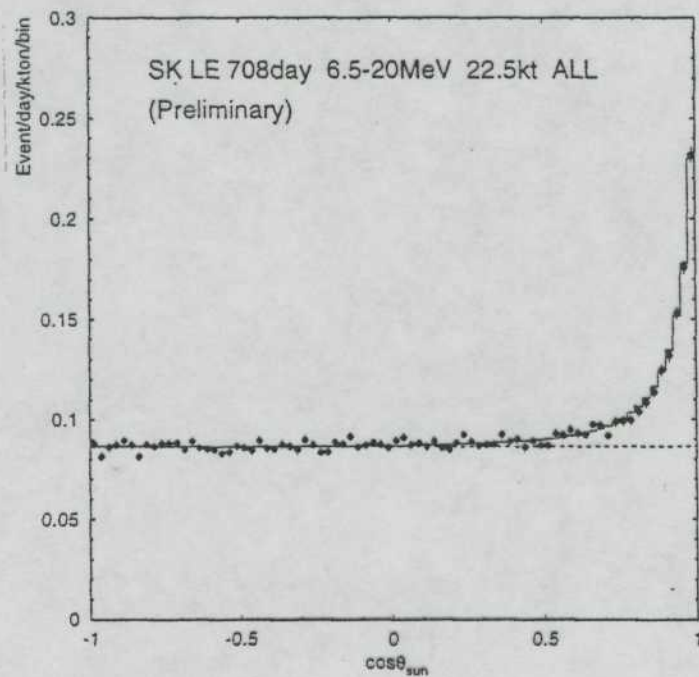
$$N_{\text{фот}}^{\text{внеш}} = 1885 \text{ шт} , \quad \varnothing \text{ ПК} = 20 \text{ см}.$$

Зависимость от энергии подтверждает осцилляцию.

80



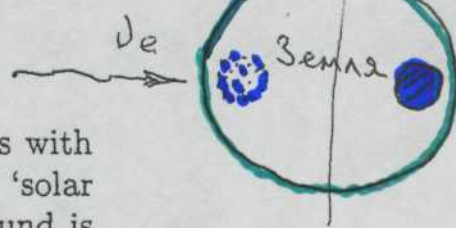
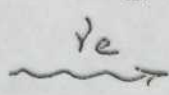
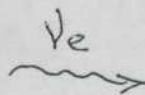
исследование солнечных ν_e . ($t \approx 2$ года)



$$N_{\nu_e} = 9530 \pm 180 \text{ мт}$$

$$R = \frac{N_{\nu}^{\text{ufm}}}{N_{\nu}^{\text{SSM}}};$$

$$R = 0.470 \pm 0.008 \pm 0.01$$



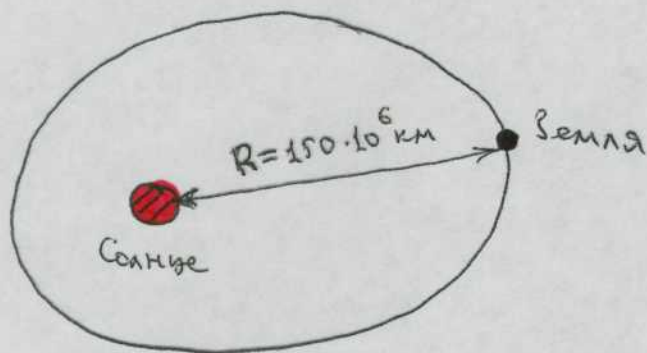
(день - ночь)

Angular distribution of electrons with respect to the direction of the Sun. The 'solar peak' at $\cos \theta_{\text{Sun}} = 1$ above the background is used to measure the solar ^8B neutrino flux and spectrum.

$$K = \frac{(\text{день} - \text{ночь})}{(\text{день} + \text{ночь})} = -0.029 \pm 0.017 \pm 0.013 \quad (\text{Зависимости нет})$$

Предполагается исследование сезонных изменений N_{ν_e}

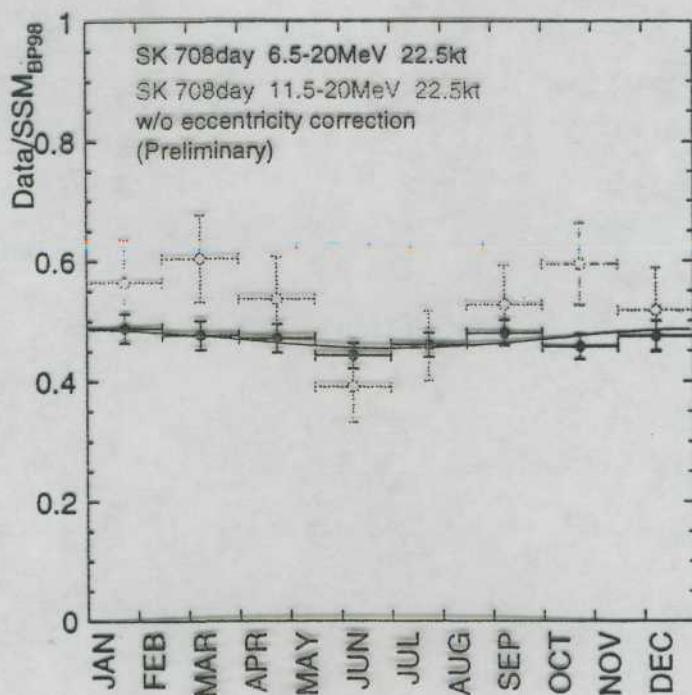
81



$$R_3^{\text{opS}} = 1.5 \cdot 10^{13} \text{ cm}$$

$$R_{\text{Земли}} = 6.4 \cdot 10^8 \text{ cm}$$

\Rightarrow Большая чувствительность к
малым δm^2



Есть указание на эффект для $E_\nu > 11.5 \text{ МэВ}$

Планируемые эксперименты OPERA (2005 год начало)
IKARUS (LiAr)

